

Perkolationsstheorie II

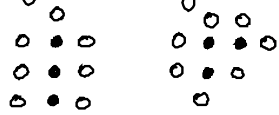
Erkenntnisse zu Perkolation bisher:

- Geometrische Phaseübergang aus Zufallsprozess (als Modell für 'random media'), getrieben durch Besetzungswahrscheinlichkeit/-konzentration eines Gitters ('bond', 'site') oder eines Raums (einer Fläche) (Kontinuum-perkolation)
- Interessante Größen, die Perkolationsübergang charakterisieren, weisen Skalensverhalten mit krit. Exponenten auf:
 - Stärke Φ des ∞ Clusters ist Ordnungsparameter
 $\Phi \sim (p - p_c)^\beta$ (vgl. spontane Magnetis. $m \sim (T_c - T)^\beta$)
 \uparrow
 Perkolationschwelle
 (p_c hängt von Gittertyp / Perkol.-modell ab, aber krit. Expon. nur von Raumdimension) \rightarrow Universalität
 - Mittlere Clustergröße S (endl. Cluster):
 $S \sim |p - p_c|^{-\gamma}$ divergiert bei Annäherung an p_c
 (von oben u. unten)
 - Korrel.-fkt. $\hat{=}$ Wahrsch., dass zwei Plätze mit Abstand r zum selben Cluster gehören, w_r , fällt bei p_c nicht mehr exponentiell ab, sondern algebraisch ('power law'), da Korrelationslänge ξ divergiert:
 $w_r \sim |p - p_c|^{-\nu}$ ($\nu = 1$ für $d = 1$)
 - Clustergrößenverteilung (endl. Cluster)
 $n_s(p_c) \sim s^{-\tau}$ statt expon. Zerfall mit s für $p < p_c$
 - Perkolierender Cluster ist selbstähnlich (fraktal), d.h. Stärke Φ skaliert mit linearer Abmessung L
 $\Phi \sim L^{df}$, $df < d$

Zum Abzählungsproblem für n_s auf „gewöhnlichen“ Gittern mit $d > 1$:

Essentiell für Bestimmung von n_s war die Zahl t_s der begrenzenden Leeren Plätze eines s -Clusters (z.B. $t_3 = 2$ für $d=1$). In $d > 1$ hängt t_s nicht nur von s ab, sondern auch von Form/Kompaktheit der Realisierung ab:

$s=3$ auf Quadratgitter:



$$t_3^{(1)} = 8 \quad t_3^{(2)} = 7$$

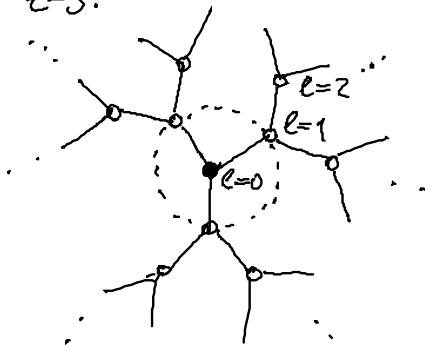
Für größere s außerdem 'Loops' möglich

→ Alle Clusterkonfig. C_s mit s Plätzen („Gittertie“) müssen inklusive ihres statist. Gewichts und t_{C_s} bestimmt und separat behandelt werden. → Interessantes Regime großer s praktisch nicht zugänglich.

11.6 Bethe-Gitter / Cayley tree

Jeder Platz hat z nächste Nachbarn, Baumstruktur:

$z=3$:



keine geschlossenen Wege

l -te Schale hat

$$S_l = z(z-1)^{l-1} \text{ Plätze,}$$

l Schalen haben

$$V_l = 1 + z \sum_{m=0}^{l-1} (z-1)^m$$

= ... (geom. Reihe)

$$= \frac{z - z(z-1)^l}{z-1}$$

→ S_l, V_l wachsen exponentiell mit l !

$$\Rightarrow \text{„Oberfläche“ / „Volumen“ } S_l / V_l = \frac{z-1}{z(z-1)^{l-1} + 1 - z}$$

$$\xrightarrow[\substack{z \geq 3 \\ l \rightarrow \infty}]{\frac{z-1}{z-1}}$$

(z.B. $z=3$: Hälfte d. Plätze in S_l für $l \rightarrow \infty$)

Zum Vgl.:

$$\text{Für } d\text{-dim. Kugel } S_d \sim R^{d-1}, V_d \sim R^d \Rightarrow S_d \sim V_d^{1-1/d}$$

Proportionalität $S_d \sim V_d$ für $R \rightarrow \infty$ wird nur für $d \rightarrow \infty$ erreicht.

Daher wird Bethe-Gitter auch für Spin-Modelle oft als „Ersatz“ für ∞ -dim. Gitter verwendet. (Erinnerung: z.B. für Ising-Modell mit ∞ langreichw. WZ: Mean-Field-Näherung wird exakt.)

Perkolations auf Bethe-Gitter:

i) Perkol.-schwelle p_c aus Konf. fkt. w_r (W., dass z.B. Zentrum mit Platz in r -ter Schale verbunden ist):

$$w_r = p^r \underbrace{z(z-1)^{r-1}}_{\text{\# Plätze } r\text{-te Schale}}$$

$$= \frac{z}{z-1} (p(z-1))^r$$

$$= \frac{z}{z-1} e^{r \ln(p(z-1))}$$

\Rightarrow Konf.-länge $\xi = \frac{-1}{\ln(p(z-1))}$ divergiert für

$$p \rightarrow p_c = \frac{1}{z-1} \quad (\text{Erinn.: } p_c = 1 \text{ für } z=2 \hat{=} \text{1d Kette})$$

wieder krit. Expon. $\nu = 1$

ii) Stärke Θ des ∞ Clusters:

Wahrsch., dass Zentrum besetzt ist und zum ∞ Cluster gehört, ist $p \Theta \hat{=} \text{Wahrsch., dass es besetzte Verbindung bis zu } r \rightarrow \infty \text{ gibt (zu } S_\infty)$

Q Wahrsch., dass es von (besetztem) Platz keine Verbindung nach S_∞ gibt:

$$Q = 1 - p + p Q^{z-1}$$

$\underbrace{\hspace{2cm}}$ nächster Platz ist selbst nicht besetzt \longleftarrow keiner der $(z-1)$ Zweige hat Verbind. nach S_∞

Lsg. für $z=3$: $Q_a = 1$ (für $p < p_c$)
 und $Q_b = \frac{1-p}{p}$

Zurück zu Θ :

Wahrsch., dass Zentrum besetzt, aber ohne Verbindung zu S_1 , $r \rightarrow \infty$, ist, ist $p(1-\Theta)$, andererseits auch pQ^z :

$$\Theta = 1 - Q^z$$

Wieder für $z=3$: $\Theta_a = 0$ ($p < p_c$)

$$\Theta_b = 1 - \left(\frac{1-p}{p}\right)^3$$

\Rightarrow
 (ohne Flukt.) $\langle n \rangle \sim (p - p_c) \quad (\beta=1)$
 ($p_c = 1/2$)

ii) Clustergrößenverteilung:

t_s , Zahl d. leeren Nachbarplätze, hängt für Bethe-Gitter nur von s ab, nicht von Topologie d. s -Cluster, ab:

$t_1 = z$, $t_2 = 2(z-1)$ (Endplätze haben $z-1$ N.,
 Mittelplätze auf lin. Cluster $z-2$)

$$t_s = 2(z-1) + (s-2)(z-2)$$

$$= 2 + s(z-2)$$

Daraus n_s :

$$n_s(p) = g_s (1-p)^{t_s} p^s = g_s (1-p)^2 (1-p)^{s(z-2)} p^s$$

↑
 statist. Gewicht s -Cluster

Um Berechnung von g_s zu umgehen, bilden wir

$$\frac{n_s(p)}{n_s(p_c)} \stackrel{z=3}{=} \left(\frac{1-p}{1-p_c}\right)^2 \left[\frac{p(1-p)}{p_c(1-p_c)}\right]^s \quad (\text{Voraussetzung: } n_s(p_c) \sim s^{-z})$$

$$= \left(\frac{1-p}{1-p_c}\right)^2 \left[1 - a(p-p_c)^2\right]^s$$

$$\sim e^{-cs} \quad \text{mit } a=4,$$

$$c = -\ln\{1 - a(p-p_c)^2\}$$

⇒ Exponent. Zerfall $\forall s$, nicht nur für große s wie bei „gewöhnlichen“ Gittern

⇒ Skalengesetz, da

$cs \sim s(p-p_c)^2$ hängt nur ab von „skaliertes“ Clustergröße

$$s(p-p_c)^{1/\sigma}, \quad \text{hier } \sigma = 1/2$$

→ „Selbstähnlichkeit“ der Clustergrößenverteilung.

$$\text{Mit } n_s(p_c) \sim s^{-\tau}$$

kann man über die mittlere Clustergröße \bar{s} zeigen:

$$\bar{s} \sim c^{\tau-3} = (p-p_c)^{\frac{\tau-3}{\sigma}} \quad \text{Skalenrelation}$$

$$\sim |p-p_c|^{-\beta} \quad (\text{früher}) \Rightarrow \boxed{\beta = \frac{3-\tau}{\sigma}}$$

Analog aus \textcircled{A} und

$$1 = 1-p + \sum_s m_s + p \textcircled{A} \rightsquigarrow \textcircled{A} = 1 - \frac{1}{p} \sum_s m_s,$$

$$\textcircled{A} \sim (p-p_c)^\beta \Rightarrow \boxed{\beta = \frac{\tau-2}{\sigma}}$$